

## Электромагнетизм

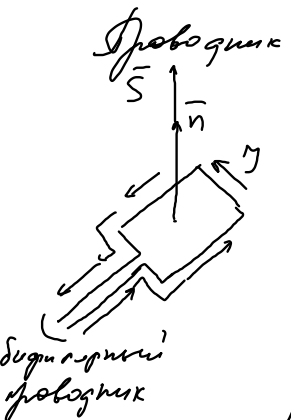
### Магнитное поле и его характеристики

Из опыта: вокруг проводников, по которым протекает, в пространстве и вокруг магнитов существует сильное поле, которое называется магнитным.

Дл. пол - направление действия эл. заряд, вокруг движущихся эл. зарядов существует магнитное поле.

Магнитное поле можно обнаружить по его действию на проводник с током либо на движущийся заряд.

Магнитное поле действует только на движущиеся заряды



видуяющим в земле разрез, рамка с током  
рамка должна быть плоской.

$\bar{n}$  - единичная нормаль к плоскости рамки  
 $|\bar{n}| = 1$

$S$  - площадь рамки  $\bar{F} = S\bar{n}$

$M \ll M_{\text{вн.}}$  - внешнее поле  $\bar{S} \uparrow \uparrow \bar{n}; |\bar{S}| = S$   
 $S$  должна быть мала

Из опыта следует, что магнитное поле оказывает ориентирующее действие на рамку с током, действует момент сил.  $M$ .  
Можно использовать магнитный компас (компас)

$P_m$  - магнитный  $\bar{M}$  - момент рамки;  $\bar{M}$  - момент сил

$$\bar{P}_m = M S \bar{n} = M \bar{S}$$

$M \sim Y$ ;  $M \sim S$ ;  $M \sim \rho_m$ ;  $M \sim$  величина норм

$\bar{B}$  - магнитная индукция

$$\bar{M} = [\bar{\rho}_m \cdot \bar{B}] ; \quad \underline{M_{\max} = \rho_m B \sin \alpha = 1; \bar{\rho}_m \perp \bar{B}}$$

$$M = \rho_m B \sin \alpha; \alpha = (\bar{\rho}_m \wedge \bar{B})$$

$$B = \frac{M_{\max}}{\rho_m} - \text{зависит только от магнитной нормы}$$

$\underline{\bar{\rho}_m}$  - характеристика ряда

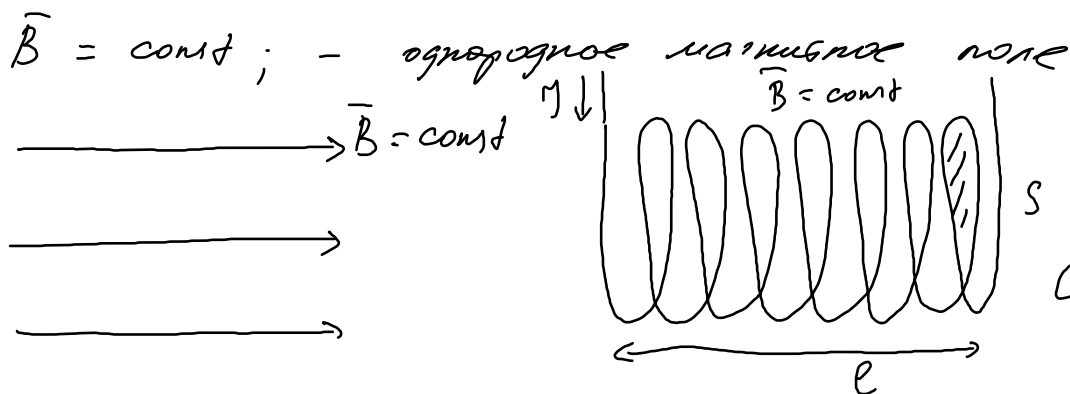
Магнитное поле изображают с помощью силовых линий. Правила представления силовых линий такие же как и для силовых линий эл. ст. пол. Правила 1, 2

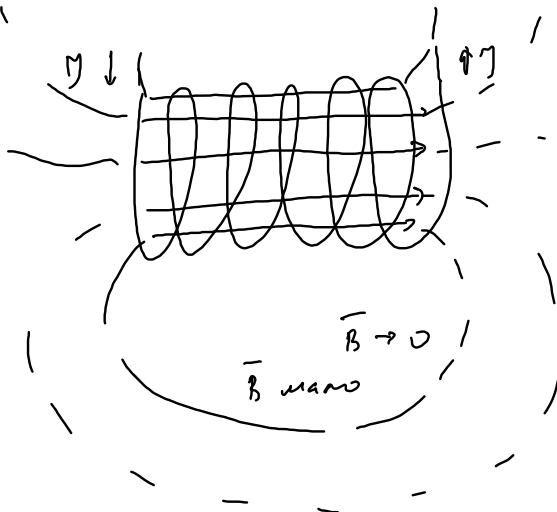
Есть особенности.

Магнитных зарядов нет. Силовые линии нач. пол. замкнуты.

$\vec{B}$  сущес. замкнутых силовых линий воле называем бирюкови.

Магн. поле - бирюковое поле.





Магнит

магнитные изображения

$\bar{H}$  - напряженность магнитного поля

$$\bar{B} = \mu_0 \mu \bar{H}$$

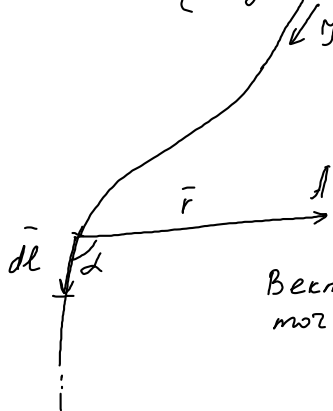
$\mu$  - магнитная проницаемость

$$\mu < 1; \mu > 1; \mu \gg 1$$

$\mu_0$  - магнитная постоянная

## Закон Био-Савара-Лапласа

формула  $\left\{ \begin{array}{l} \text{ученый Н.С. Био (1774 - 1862)} \\ \text{ученый А. Савар (1791 - 1841)} \\ \text{доказал и изложил П. Лаплас} \end{array} \right\}$  изучали магнитное поле и сформулировали закон



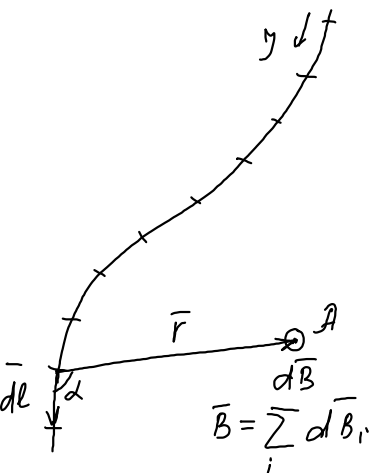
В произвольной точке  $A$  электрический ток  $I$  протекающий по элементу проводника  $d\ell$  (вектор, совпадает с направлением тока),  $r$  - радиус-вектор  $A$  от элемента проводника  $d\ell$ ;  $\alpha = (d\ell, r)$

Вектор магнитной индукции  $d\bar{B}$  магнитного поля в точке  $A$ :

$$d\bar{B} = \frac{\mu_0 M}{4\pi} \cdot \frac{I[d\ell, r]}{r^3}$$

- Закон Био-Савара-Лапласа





$$\bar{B} = \sum_i d\bar{B}_i$$

$d\bar{B} \perp (d\bar{l}, \bar{r})$ , правило буравчика применяется для определения направления  $d\bar{B}$

$$d\bar{B} = \frac{\mu_0 M}{4\pi} \cdot \frac{I dL \cdot \sin\alpha}{r^2}$$

Для нахождения результирующего магнитного поля в т. А от тока  $I$ , протекающего по проводнику, используется принцип суперпозиции магнитных полей:

$$\bar{B} = \sum d\bar{B}_i \quad (1)$$

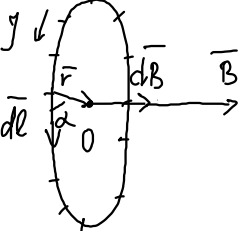
Если проводников несколько:

$$\bar{B} = \sum \bar{B}_i \quad (2)$$

## Дименсия Закона Бюо-Савара-Лапласа

1. Колесо с моком (циркулярный мок), колесо плоское

$$|\vec{r}| = R - \text{радиус колеса} \quad \alpha = (\vec{dl}, \vec{r}) = 90^\circ$$



$$\vec{dB} = \frac{\mu_0 M}{4\pi} \frac{\gamma [dl \cdot \vec{r}]}{R^3} \Rightarrow dB = \frac{\mu_0 M}{4\pi} \frac{\gamma dl \sin \alpha}{R^2}$$

$$dB = \frac{\mu_0 M}{4\pi} \frac{\gamma dl}{R^2}; \sin \alpha = 1$$

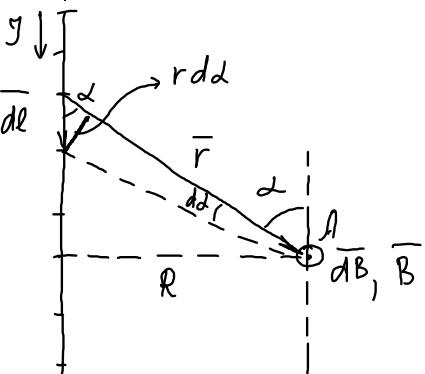
$$\vec{B} = \sum \vec{dB}_i \quad B = \sum dB_i$$

$M = I$  (базы)

$$B = \frac{\mu_0 M}{4\pi} \frac{\gamma}{R^2} \sum dl = \frac{\mu_0 M}{4\pi} \frac{\gamma}{R^2} 2\pi R = \frac{\mu_0 M \gamma}{2R};$$

$$B = \frac{\mu_0 \gamma}{2R}$$

2. Магнитное поле от промежуточного проводника с током (декартовы координаты)



$$\alpha = (\bar{dl}, \bar{r})$$

$$d\bar{B} = \frac{\mu_0 M}{4\pi} \frac{\gamma [\bar{dl} \cdot \bar{r}]}{r^3}; \quad M=1$$

$$\bar{B} = \sum d\bar{B}_i$$

$$d\bar{B} \perp (\bar{dl}, \bar{r})$$

$$B = \sum d\bar{B}_i; \quad \frac{R}{r} = \sin \alpha; \quad r = \frac{R}{\sin \alpha}$$

$$dl = \frac{r d\alpha}{\sin \alpha}$$

$$d\bar{B} = \frac{\mu_0 \gamma}{4\pi} \frac{\sin^2 \alpha R \sin \alpha}{R^2 \sin^2 \alpha} d\alpha$$

$$dB = \frac{\mu_0 I}{4\pi R} \sin \alpha \cdot d\alpha$$

$$B = \int dB = \frac{\mu_0 I}{4\pi R} \int \sin \alpha d\alpha$$

$$= - \frac{\mu_0 I}{4\pi R} \cos \alpha \Big|_{\alpha_1}^{\alpha_2} = - \frac{\mu_0 I}{4\pi R} (\cos \alpha_2 - \cos \alpha_1)$$

$$\bar{B} = \sum_i dB_i; B = \sum_i B_i; B = \int dB$$

$L$  - длина проводника

$$\alpha = 10 \div T$$

Сам проводник можно  
записать, то  $\alpha = (\alpha_1 + \alpha_2)$

$$B = \frac{\mu_0 I}{4\pi R} (\cos \alpha_1 - \cos \alpha_2)$$

Если проводник бесконечный, то  $\alpha_1 = 0^\circ; \alpha_2 = 180^\circ$

$$B = \frac{\mu_0 I}{4\pi R} (\cos 0^\circ - \cos 180^\circ) = \frac{\mu_0 I}{4\pi R} 2$$

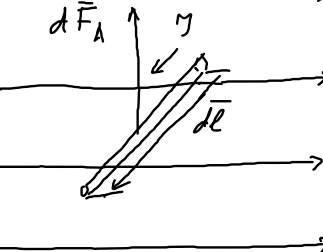
$$B = \frac{\mu_0 I}{2\pi R}$$

Величина бесконечного магнитного  
индукции не зависит от радиуса  $R$   
от бесконечного проводника и от  
длины проводника с током.

Взаимодействие параллельных протонов.

Сила Ампера

Сила Ампера - сила, действующая в магнитном поле на протоник с током.


$$\bar{B} = \text{const}$$

$d\bar{l}$  - вектор, совпадающий с направлением тока

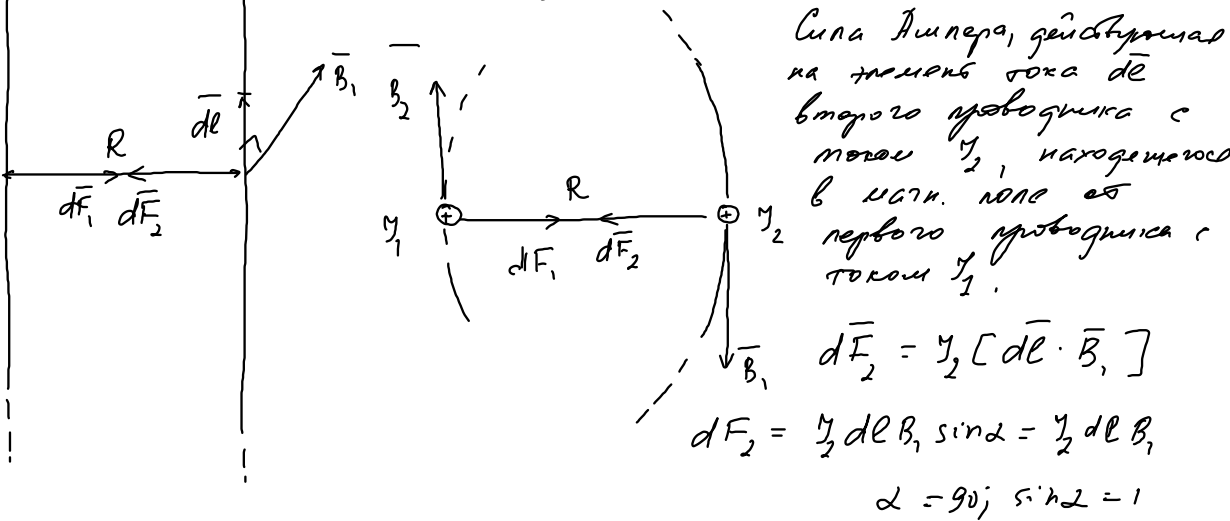
$$d\bar{F}_A = \gamma [d\bar{l}, \bar{B}]$$
$$dF_A = \gamma dl B \sin \alpha ; \alpha = (\bar{dl}, \bar{B})$$
$$d\bar{F}_A \perp (\bar{dl}, \bar{B}) ;$$

Для определения направления действия силы Ампера  $d\bar{F}_A$  используется правило Буравчика.

Двухники бессимметрическое, проиницированное в  
недроподъемнике для добычи.

$$B_1 = \frac{\mu_0 \gamma_1}{2\pi R}$$

$$R = \text{const} \quad \beta_1 = \text{const}$$

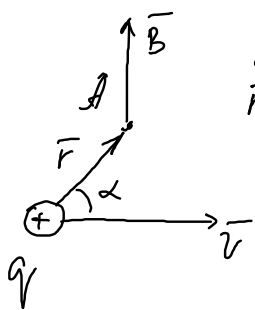


$$dF_2 = \frac{\mu_0 M_1 M_2}{2\pi R} dl$$

$$dF_1 = -dF_2 \quad dF_1 \uparrow \downarrow dF_2$$

$$dF_1 = \frac{\mu_0 M_1 M_2}{2\pi R} dl$$

Магнитное поле движущегося электрического заряда



В море A движущийся заряд  $q$  со скоростью  $\vec{v}$  создаёт магнитное поле с магнитной индукцией  $\vec{B}$ .  $r$  — радиус. Вероят, засасывает поплавок т.  $\lambda$  относительно этого  $q$

$$\vec{B} = \frac{\mu_0 M}{4\pi} q \left[ \frac{v \cdot r}{r^3} \right]$$

$$B = \frac{\mu_0 M}{4\pi} q \frac{v \sin \lambda}{r^2}; \quad \lambda = (\vec{v}, \vec{r})$$

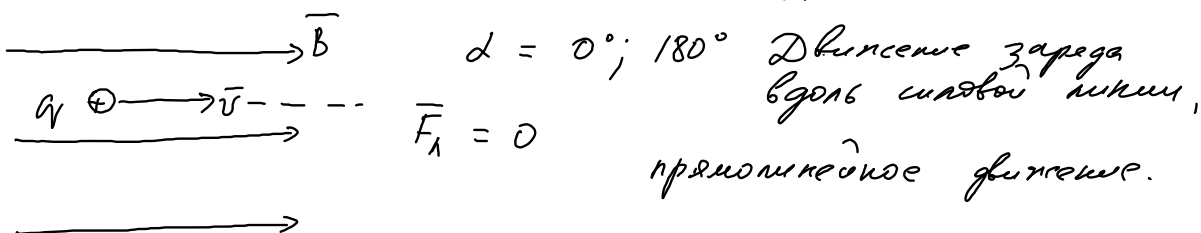
## Сила Лоренца

На движущийся заряд в магнитном поле действует сила, сила Лоренца.

$$\bar{F}_1 = q[\bar{v} \cdot \bar{B}] \quad \bar{v} \neq 0$$

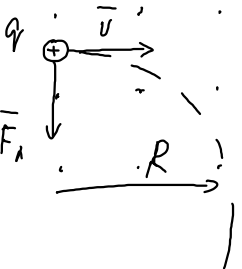
$$F_1 = q v B \sin \alpha \quad \alpha = (\bar{v}, \bar{B})$$

Направление  $\bar{F}_1$  — право буравчика



$$2. \quad \angle = 90^\circ \quad \vec{v} \perp \vec{B}$$

$$\therefore \vec{B} = \text{const} \quad \vec{F}_A = q[\vec{v} \cdot \vec{B}] ; \quad F_A = qvB \sin 90^\circ$$



$$F_A = qvB = \text{const} \quad v = \text{const}$$

$\vec{F}_A \perp \vec{v} ;$  Движение заряда с ускорением,

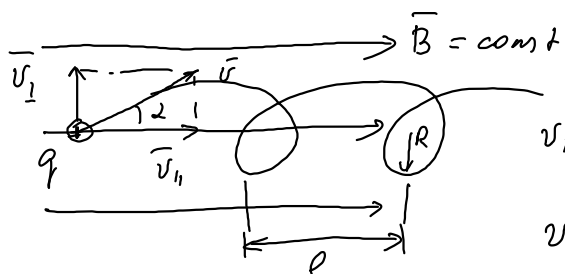
$$\vec{a} = \frac{\vec{F}_A}{m} ; \quad a_n = \frac{v^2}{R} ; \quad \frac{v^2}{R} = \frac{qvB}{m} \quad \text{нормальное ускорение}$$

$a_n$  - нормальное ускорение

Движение заряда по окружности

$$\text{Радиус окружности } R = \frac{mv}{qB}$$

$$3. 0 < \alpha < 90^\circ$$



$$\bar{v} = \sqrt{v_{\parallel}^2 + v_{\perp}^2}$$

$$v_{\parallel} = v \cos \alpha$$

$$v_{\perp} = v \sin \alpha$$

$v_{\parallel}$  - движение преследуемое вектором силы

$v_{\perp}$  - движение по отдельной радиуса  $R$

$R$  - радиус винтовой линии

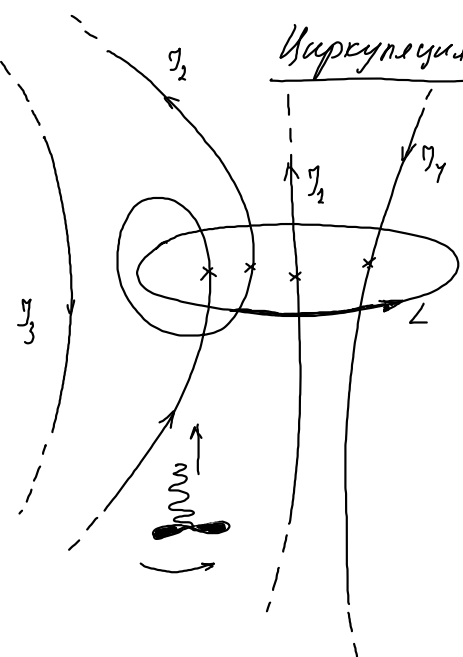
$\ell$  - шаг винтовой линии, расстояние между соседними витками,  $\ell$  - длина отдельного витка

$T$  - период, совершаются один виток

Результирующая скорость - винтовая линия

$$L = 2\pi R = v_{\perp} \cdot T; \ell = v_{\parallel} \cdot T; T = \frac{2\pi R}{v_{\perp}} = \frac{2\pi m}{qB}$$

$$R = \frac{mv_{\perp}}{qB}; \ell = v_{\parallel} \frac{2\pi m}{qB} \text{ и } L = v_{\perp} T = v_{\perp} \frac{2\pi m}{qB}$$



## Чаркулович бесцора магнитной индукции

Магнитное поле создают неодинаковыми токами, протекающими по проводникам. В области магнитного поля будут замкнуты контуры.

Найдем интеграл  $\oint (\bar{B} d\bar{l})$  по контуру  $L$ .

Здесь  $d\bar{l}$  - элемент контура;  $(\bar{B} d\bar{l}) = B dL \cos \alpha$   
 $\alpha = (\bar{B}^n d\bar{l})$ .

Можно показать, что  $\oint (\bar{B} d\bar{l}) = \mu_0 \sum I_i$

Здесь  $I_i$  - токи в проводниках, пересекающих поверхность контура, или охватывающие контуры,  $\mu_0$  - магнитная постоянная.

$\oint (\bar{B} d\bar{l})$  носит название "Чаркулович бесцора магнитной индукции по замкнутому контуру".

Теорема о циркуляции вектора магнитной индукции

$\oint (\vec{B} d\vec{r}) = \mu_0 \sum I_i$  - Циркуляция вектора магнитной индукции по замкнутому контуру равна произведению  $\mu_0$  на сумму токов, охватываемых этим контуром.

Направление обхода контура и направление тока в проводнике совпадают направлением тока в проводнике, в противном случае величину тока берут со знаком (-).

$$\text{На примере } \sum I_i = I_1 + 2I_2 - 0 \cdot I_3 - I_4 = I_1 + 2I_2 - I_4$$

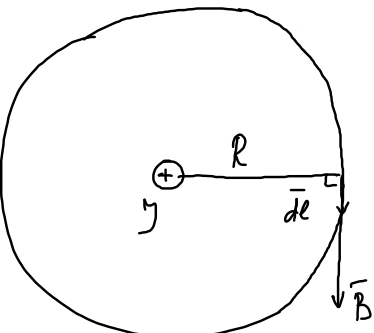
Так  $I_3$  не пересекает контур, а ток  $I_2$  пересекает контур дважды.

$\oint (\vec{B} d\vec{r}) = \mu_0 \sum I_i$  Справедливо для вакуума (в веществе надо учитывать магнитомагнитную проницаемость)

Используют для расчета магнитных полей, если токи (проводники с током) расположены геометрически правильно.

## Доказательство теоремы

Рассмотрим пренебрежимо бесконечную проводник, по которому проходит ток  $I$ . Вокруг него снаружи в форме сферической поверхности конура  $\Sigma$  проводника, проводник пересекает конур в центре сферичности.



Ток  $I$  направлен  
за мыс (хвост)

На расстоянии  $R$  (радиус сферичности)

$$B = \frac{\mu_0 I}{2\pi R} \quad (\mu = 1)$$

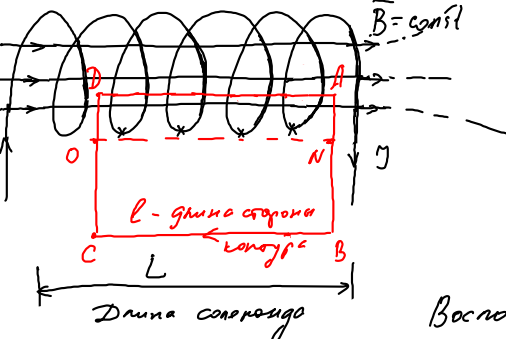
$$(\bar{B}d\bar{l}) = B dl \cos 0^\circ = B dl = \frac{\mu_0 I}{2R} dl$$

$$\oint (\bar{B}d\bar{l}) = \oint B dl = \frac{\mu_0 I}{2\pi R} \oint dl = \frac{\mu_0 I}{2\pi R} 2\pi R = \mu_0 I$$

Рассмотрим доказательство теоремы о циркуляции вектора магнитной индукции по замкнутому конуру в пространстве случае.

## Магнитное поле катушки

Рассчитаем магнитное поле катушки катушки в соленоиде.



Выбираем контур в виде прямоугольника, одна сторона которого лежит в соленоиде и параллельна оси соленоида  
 $N_0$  - количество витков в соленоиде

$$n = \frac{N_0}{L} - \text{концентрация витков (число}$$

$$N = n l = \frac{N_0}{L} l - \text{число витков, пересекающих контур}$$

Воспользуемся теоремой о циркуляции вектора  $\bar{B}$ .

$$\oint (\bar{B} d\bar{l}) = \mu_0 N I = \mu_0 n l I ; \quad \oint (\bar{B} d\bar{l}) = \int_{ABCD} (\bar{B} d\bar{l}) + \int_{AB} (\bar{B} d\bar{l}) + \int_{BC} (\bar{B} d\bar{l}) + \int_{CD} (\bar{B} d\bar{l})$$

ABCDA

ABCDA

AB

BC

CD

DA

$$\text{Интеграл } \int_{BC} (\bar{B} d\bar{l}) = 0 \quad \text{магн. поле вне соленоида мало, } \bar{B} \approx 0$$

Интеграл  $\int_{AB} (\bar{B} \bar{d}\ell) = \int_{AM} (\bar{B} \bar{d}\ell) + \int_{MB} (\bar{B} \bar{d}\ell) = 0$ , разбиваем на два интеграла

$\int_{AM} (\bar{B} \bar{d}\ell) = 0$ , т.к.  $\alpha = (\bar{d}\ell, \bar{B}) = 90^\circ$  и  $\cos \alpha = 0$ , AM находится в сечении.

$\int_{MB} (\bar{B} \bar{d}\ell) = 0$ , т.к.  $\bar{B} = 0$ , MB находится вне сечения.

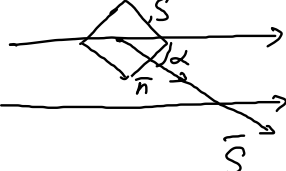
Интеграл  $\int_{CD} (\bar{B} \bar{d}\ell) = 0$ , см. выше

Интеграл  $\int_{DA} (\bar{B} \bar{d}\ell) = B\ell \cos \alpha = B\ell$ , т.к.  $\alpha = (\bar{B} \bar{d}\ell) = 0^\circ$  и  $\cos \alpha = 1$

Таким образом  $\oint (\bar{B} \bar{d}\ell) = \oint_{ABCDA} (\bar{B} \bar{d}\ell) = B\ell = \mu_0 n I \Rightarrow B = \mu_0 n I$

## Поток второго математической интегрирования

Рассмотрим однородное магнитное поле ( $\bar{B} = \text{const}$ ), в котором введенна плоская пластина в форме правильного многоугольника.  $\bar{n}$  - вектор нормали к пластине,  $|\bar{n}| < 1$ .  $\angle = (\bar{B}, \bar{n})$ .

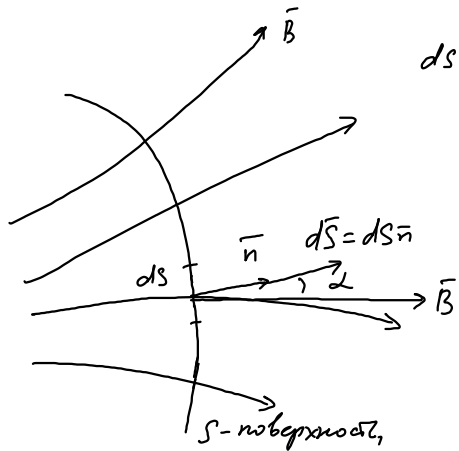


$S$  - пластина и  $\bar{S} = S\bar{n}$ .

$$\Phi_B = (\bar{B}\bar{S}) = BS \cos \alpha = B_n S, \quad B_n = B \cos \alpha$$

$\Phi_B$  - поток второго  $\bar{B}$  через плоскую пластину  $S$ .

Если магнитное поле неоднородное, а поверхность неплоская, разбиваем поверхность на бесконечно малые элементы так, чтобы можно было считать, что фазенство плоское с постоянной до бесконечно малой второго порядка, а магнитное поле однородное в пределах каждого участка.



$S$ -поверхность,  
показана лишь  
пересеченная поверхностью  
с линией / экраном)



$dS$  - плоское элемента,  $\alpha = (\vec{B}; \vec{n})$

$db_B = (\vec{B} \vec{dS}) = B dS \cos \alpha = B_n dS$  - магнитный  
поток через элемент поверхности  $dS$ .

Форма вектора магнитной индукции (магнитного  
потока) равен алгебраической сумме  
потоков через все элементы поверхности.

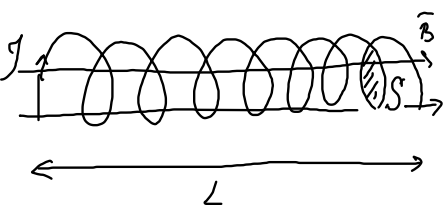
$$\Phi_B = \sum db_{Bi}; \quad db_B = \int db_B$$

$$\Phi_B = \iint_S (\vec{B} \vec{dS})$$

Все нормали  $\vec{n}_i$  к элементам поверхности должны быть  
выбрать в одну сторону, в сторону выпуклости поверхности.

форма бекофа  $\vec{B}$  вдоль соленоида

Соленоид - многодобывательный  
конурт.



$S$  - площадь бимса,  $N_0$  - число бимсов соленоида

$$\phi_B = BSN_0 = \mu_0 n^2 S N_0 = \mu_0 \frac{N_0}{L} LS N_0$$

$$\phi_B = \mu_0 \frac{N_0^2}{L} S^2$$

- полный магнитный поток, определенный со всеми бимсами соленоида

Если рассматриваем магнитный поток через некоторое сечение

$$\phi_B = \mu_0 n^2 L S M$$

соленоида, площадь бимса  $S$ , то

$$\phi_B = BS = \mu_0 n^2 S$$

$V = LS$  - объем соленоида

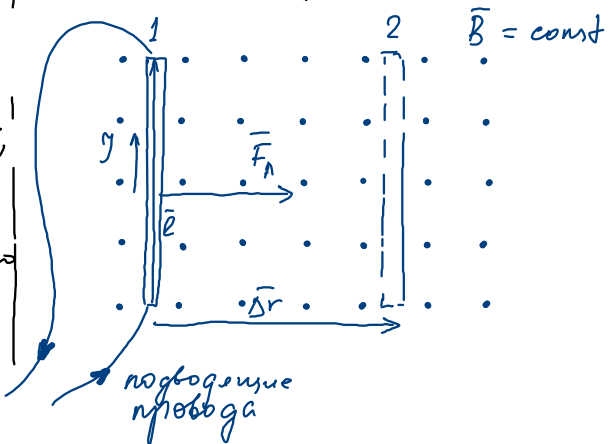
$$\phi_B = \mu_0 n^2 V M$$

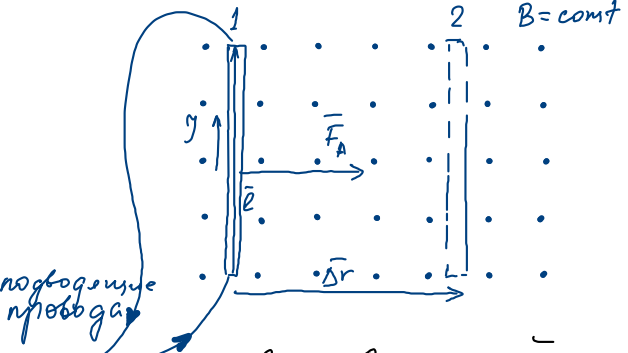
## Работа по перемещению проводника или катушки с током

### в магнитном поле.

Рассмотрим однородное магнитное поле  $\bar{B}$ , в котором находился премагнитный проводник с током  $I$ . На проводник действует сила Ампера  $\bar{F}_A$ . Если он не закреплен, то будет перемещаться под действием силы Ампера, т. е. сила Ампера будет совершать механическую работу по перемещению проводника с током в магнитном поле.

$\bar{B} = \text{const}$ , синтетические линии направлена к нам. Изображим в виде точек (точки пересечения синтетических линий с листом (экраном).

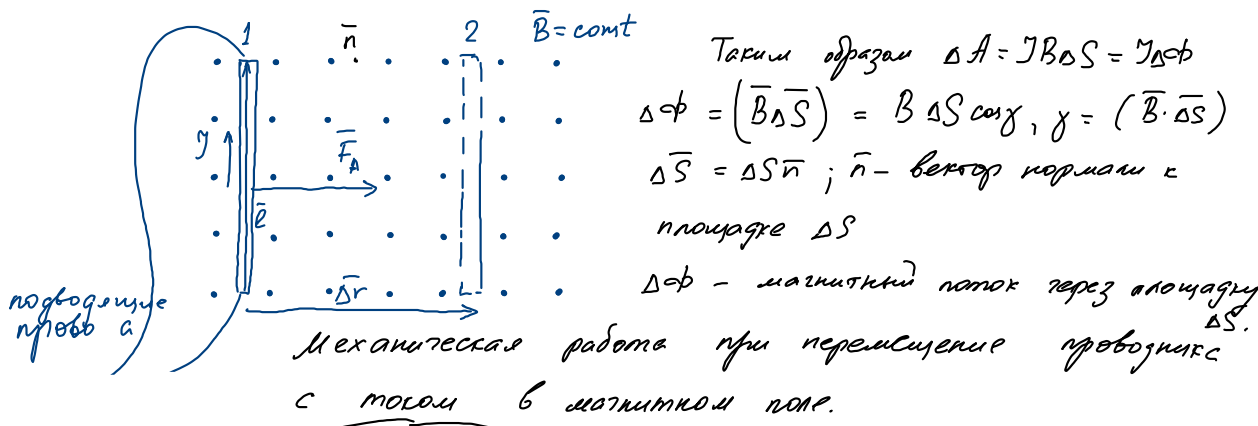




$$\bar{B} = \text{const}$$

Продолжик с током  $\perp$  силовым линиям  
однородного поля, находится в плоскости  
листа. Сила Ампера  $F_A$   $\perp$  продольнику  
и силовым линиям (ベктору  $\bar{B}$ )  
1 и 2 - начальное и конечное  
положения проводника

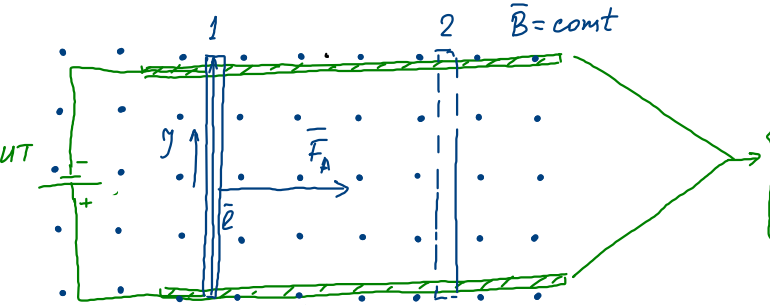
Сила Ампера  $F_A = \gamma [\bar{B} \bar{l}]$ ,  $\bar{l}$  - вектор, равен длине проводника  
 $F_A = \gamma B l \sin \alpha = \gamma B l; \alpha = (\bar{B} \wedge \bar{l}) = 90^\circ$   
 Механическая работа  $\Delta A = (\bar{F}_A \bar{dr}) = F_A dr \cos \beta, \beta = (\bar{F}_A, \bar{dr}) = 0^\circ$   
 $\Delta A = \gamma B l dr, \Delta S = l dr$  - площадь, описанная проводником при  
 перемещении из положения 1 в положение 2.



$$\Delta A = \mathcal{Y}_{\Delta \Phi} \quad \text{или} \quad dA = \mathcal{Y}_{d\Phi} - \underline{\underline{\text{для бесконечно малых величин.}}}$$

Справедливо для любого случая.

Ответим на вопрос  $\Delta S$  - ?



Вспоминаем принципиальные предпосылки, по которым, как по реалии, движется проводник, чтобы не разрывалась электрическая цепь.  
Использован источник тока и П, получаем замкнутую плавную электрическую цепь, замкнутый контур.

$$\Delta \phi = \gamma_{\text{Bab}} = \gamma_{\text{BS}} = \gamma_{\text{B}} (S_2 - S_1) = \gamma_{\text{BS}_2} - \gamma_{\text{BS}_1} = \gamma_{\text{B}} (S_2 - S_1) = \gamma (\phi_2 - \phi_1)$$

$S_1$  и  $S_2$  — площадь контура до перемещения проводника, в начальном положении, и в конечном положении.

$\phi_1$  и  $\phi_2$  — магнитный поток через контур в начальном и в конечном положениях проводника

$\Delta S = S_2 - S_1$  — изменение площади контура

$$U_{\max} : dA = \mathcal{M} d\phi \text{ или } \Delta A = \mathcal{M} d\phi = \mathcal{M} (\phi_2 - \phi_1)$$

1. Работа перемещения проводника с током в магнитном поле равна произведению величины тока на магнитный поток, пересекаемый движущимся проводником.
2. Работа равна произведению тока через замкнутый контур на изменение магнитного потока через контур.

Вопрос: по каким причинам может мгновенно магнитный поток в случае замкнутого проводящего контура в магнитном поле.

Из  $\mathcal{M} \phi = BS \cos \alpha$  следует, что есть три причины для изменения магнитного потока.

1. Изменение магнитное поле,  $B$ .
2. Изменение площади контура,  $S$ .
3. Контур меняет ориентацию, вращается,  $\alpha$ .

## Электромагнитная индукция.

### Электромагнитная индукция

#### Явление электромагнитной индукции (опыта Фарадея)

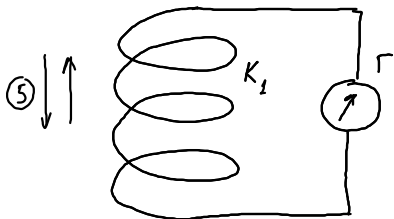
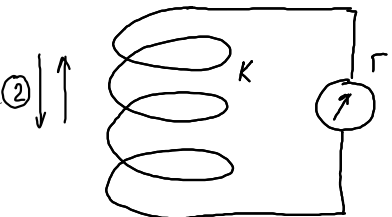
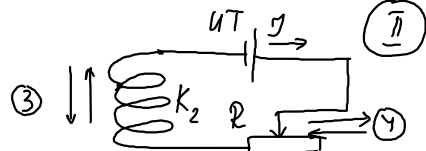
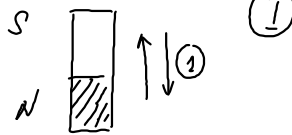
Электромагнитный ток создает вокруг проводника магнитное поле. Можно ли с помощью магнитного поля выработать электрический ток в проводнике? Это задача была решена в 1831 г. английским физиком М. Фарадеем. Он открыл явление электромагнитной индукции.

В замкнутом проводнике соктуре при изменении магнитных полей, охватывающего этик соктурой, возникает электрический ток, который получил название индукционного тока.

Способ изменения магнитного поля можно дать следующим.

1. Изменение тока в проводнике соктуре в магнитном поле.
2. Конур брандируется в магнитном поле.
3. Изменение магнитных полей.

Здесь представлены классические опыты Фарадея.



M - постоянный магнит

K<sub>1</sub> - катушка - замкнутый контур

Г - гальвометр

K<sub>2</sub> - катушка - источник магнита

УТ - источник тока

При быстром перемещении катушек 1 или 2, постоянного магнита или изменения тока во втором катушке с замкнутым редуктором гальвометр показывает наличие индукционного тока в первом катушке.

Величина индукционного тока тем больше, чем быстрее изменяется магнитный поток (быстрее движется катушка, когда катушки, меняются ток во второй катушке)

Явление эл.магн. индукции имеет большое практическое значение (электрических и магнитных явлений) и практическое значение (получение с помощью магнитного потока электрического тока).

### Закон Фарадея

Фарадеем из опыта установил количественный закон электромагнитной индукции. При изменении магнитного потока через замкнутый контур возникает индукционный ток, величина которого зависит на величине ЭДС электромагнитной индукции  $E_i$ , величина которой определяется скоростью изменения магнитного потока через контур.

$$E_i \sim \frac{d\Phi}{dt}$$

$$E_i = - \frac{d\phi}{dt}$$

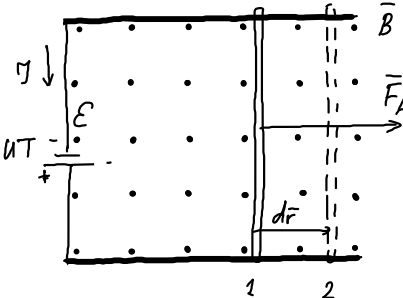
Знак минус указывает на направление индукционного тока в контуре (знак FDC) при изменении магнитного потока. Знак "-" есть масштабированный

выражение правила Ленца - определение направления индукционного тока.

Правило Ленца - индукционный ток в контуре имеет всегда такое направление, что создаваемое им магнитное поле препятствует изменениям магнитного потока, вызвавшего этот индукт. ток

Закон Фарadays для электр.-магнитной индукции можно вывести из закона сохранения энергии. Рассмотрим вывод закона Фарadays.

## Вывод законов Faradays для электромагнитной индукции



$$\bar{B} = \text{const}$$

Сила Ампера  $F_A$  совершает механическую работу  $dA = \bar{F} d\bar{s}$ ,  $R$  - полное электрическое сопротивление контура,  $\epsilon_{\text{вн}}$  - внешнее сопротивление источника УТ.

Работа источника тока с ЭДС  $\epsilon$  складывается из тепловой Джоуля-Ленца (изводимой израсходовано) и работы по перемещению проводника в магнитном поле.

$$EJdt = \gamma^2 R dt + \gamma db ; \quad Edt = \gamma R dt + db ; \quad \gamma R dt = Edt - db ;$$

$$\gamma = \frac{Edt - db}{R dt} = \frac{\epsilon - \frac{db}{dt}}{R} ; \quad \gamma = \frac{\epsilon + \epsilon_i}{R} , \text{ где } \left( \epsilon_i = - \frac{db}{dt} \right) \text{ Закон Faradays}$$

$$E_i = -\frac{d\phi}{dt}$$

$\mathcal{E}$ ДС индукции  $E_i$  численно равняется и противоположна по знаку скорости изменения магнитного потока через поверхность, ограниченную этим контуром.  $E_i$  не зависит от способа изменения магнитного потока.

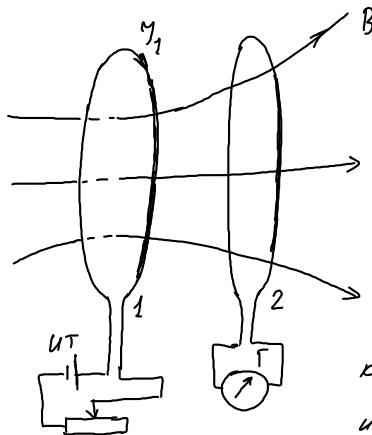
$$[E_i] \text{ В (вольт)}$$

Природа  $\mathcal{E}$ ДС индукции.

1. Электр. поток в контуре - направление движения электр. зарядов - действует силы Лоренца. Болоховские и отталкивающие заряды движутся в противоположные стороны. Возникает дополнительное  $\mathcal{E}$ ДС индукции.
2. Движение контура - движение зарядов - действует сила Лоренца. Заряды  $(+)$  и  $(-)$  движутся в разные стороны, возникает  $\mathcal{E}$ ДС

3. Возможно, когда контур неподвижен - заряды не движутся, а в движется, возникает индукционный ток, но сила Лоренца отсутствует. Массовая гипотеза гласит, что всякое изменение магнитного поля воздействует в окружающем пространстве электрическое поле, которое действует на заряды и они,  $(+)$  и  $(-)$  движутся в противоположных направлениях, возникает индукционный ток. Приведен (конкур) является практическим индикатором наличия этого поля при изучении магнитного поля.

## Взаимное индукция



Имеются два контура 1 и 2. По первому про текает ток  $I_1$ , от него, который может меняться с помощью реостата. Ко второму контуру подключена катушка для измерения тока в контуре. Вокруг первого контура возникает изменяющийся магнитное поле  $B_1$ , в котором находится второй контур, в котором и возникает индукционный ток. Максимальный поток через второй контур  $\Phi_{21} \sim B_1 \sim I_1$ ;  $\Phi_{21} = L_{21} I_1$ ,  $L_{21}$  - коэффициент пропорциональности. Возможна и обратная картина. Изменяющийся ток во втором контуре приводят к изменинию тока в первом контуре.

$$\phi_{21} = L_{21} \gamma_1 \quad \text{и} \quad \dot{\epsilon}_{12} = -\frac{d\phi_{21}}{dt} = -L_{21} \frac{d\gamma_1}{dt}$$

и обратно  $\phi_{12} = L_{12} \gamma_2 \quad \text{и} \quad \dot{\epsilon}_{12} = \frac{d\phi_{12}}{dt} = -L_{12} \frac{d\gamma_2}{dt}$

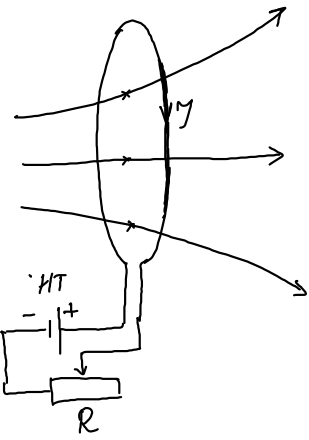
$L_{21}$  и  $L_{12}$  зависят от геометрии колодцев и их взаимного расположения

$L_{12} = L_{21} = L$  — взаимная индуктивность колодцев

$[L] = \text{Гн}$  (герн)

Изменение взаимной индукции используется для измерения или  
поминания первичного напряжения с помощью трансформаторов.

## Самоиндукция, индуктивность контура



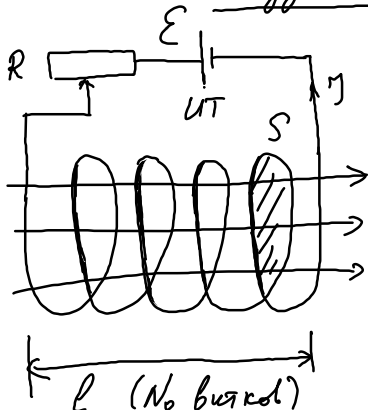
В контуре змежд. ток создаёт магнитное поле, в котором и находится контур. Пусть  $\Phi = LY$   $\Phi$  - магнитный поток через контур. Если ток  $Y$  меняется (реостат), то меняется и магнитное поле и магнитный поток через контур. Возникает ЭДС индукции. Явление получило название самоиндукции.

$$E_i = \frac{d\Phi}{dt} = -L \frac{dY}{dt}; L - \text{индуктивность контура},$$

зависит от геометрии протовинка и магнитной проницаемости среды.

$$E_i = -L \frac{dY}{dt}$$

## Индуктивность катушки



Магнитный поток через катушку

$$\phi = BSN_0$$

$S$  - площадь поперечного сечения катушки

$$\mu = 1$$

$$\phi = \mu_0 \mu n \cdot SN_0 = L I ; n = \frac{N_0}{l}$$

$$L = \mu_0 n S N_0$$

$l$  - длина катушки

$$L = \mu_0 \frac{n^2 S}{l} ; \text{ при } \mu \neq 1$$

$$L = \mu_0 \mu \frac{n^2 S}{l}$$

$L$  - индуктивность катушки

## Энергия магнитного поля

Протяжных (конур) с током образует магнитные поля. Магнитное поле называется и изменяется с продлением засечр. тока. Гармо засечр. тока (источника тока) идет на создание магн. поля. Т.е. магн. поле является побочным энергии. Энергия магн. поля (магнитная энергия) равна работе, затрачиваемой током (источником тока) на создание магн. поля

$L$  - индуктивность конура

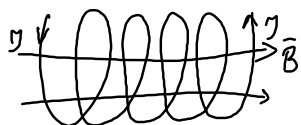
$I$  - засечр. ток

$\phi = L I$  - связь между с конурами магн. поток

$$\begin{aligned} d\phi &= L dI \quad \text{- при изменении тока на } dI \\ &\text{поток меняется на } d\phi, \text{ при этом} \\ &\text{необходимо совершить работу} \\ dA &= \gamma d\phi = L \gamma dI \\ &\text{И работа на создание магн. поля} \\ A &= \int_0^I \gamma dI = \frac{L I^2}{2} \end{aligned}$$

В соответствии с законом сохранения энергии, энергия магнитного поля, созданного соленоидом  $W = A = \frac{L \gamma^2}{2}$

Рассмотрим соленоид, магн. поле создаваемое в соленоиде



Индуктивность соленоида

$$L = \mu_0 n^2 S L$$

$$W = \frac{L \gamma^2}{2} = \frac{\mu_0 n^2 S L}{2} \gamma^2$$

$S L = V$  - объем соленоида

$$\omega = \frac{W}{V} = \frac{\mu_0 n^2 \gamma^2}{2} - \text{объемная плотность магнитной энергии}$$

Если  $\mu \neq 1$

$$\omega = \frac{\mu_0 \mu n^2 \gamma^2}{2}$$

$$B = \mu_0 \mu n \gamma$$

$$B = \mu_0 \mu H$$

$$H = n \gamma$$

$$\omega = \frac{BH}{2}$$

$H$  - напряженность магнитного поля